

CoO/SiO₂-Al₂O₃催化剂上苯胺和1,6-己二醇气相高效合成 1-苯基氮杂环庚烷

刘兴海, 朱海艳, 石雷, 孙琪

辽宁师范大学化学化工学院功能材料化学研究所, 辽宁大连 116029

摘要: 研究了 CoO/SiO₂-Al₂O₃ 催化剂上苯胺和 1,6-己二醇气相催化合成 1-苯基氮杂环庚烷的反应, 并采用 N₂ 吸附-脱附、X 射线衍射、H₂ 程序升温还原和 NH₃ 程序升温脱附技术对催化剂进行表征。结果表明, CoO/SiO₂-Al₂O₃ 催化剂表现出较高的活性和选择性。当 CoO 担载量为 0.3 mmol/g 时, 催化剂前体在 700 °C (2.8 °C/min) 下焙烧 4 h 以及在 325 °C 下 50% H₂-50% N₂ (60 ml/min) 混合气中原位还原 2 h, 产物收率达到 80%。催化剂的比表面积大、活性组分分散度高以及酸性较弱时有利于目标产物的生成。

关键词: 氧化钴; 二氧化硅; 氧化铝; 负载型催化剂; 1-苯基氮杂环庚烷; 苯胺; 1,6-己二醇

中图分类号: O643 文献标识码: A

Efficient Vapor-Phase Synthesis of 1-Phenylazepane from Aniline and 1,6-Hexanediol over CoO/SiO₂-Al₂O₃ Catalyst

LIU Xinghai, ZHU Haiyan, SHI Lei*, SUN Qi

*Institute of Chemistry for Functionalized Materials, Faculty of Chemistry and Chemical Engineering,
Liaoning Normal University, Dalian 116029, Liaoning, China*

Abstract: Vapor-phase catalytic synthesis of 1-phenylazepane from aniline and 1,6-hexanediol over CoO/SiO₂-Al₂O₃ catalyst was investigated and the catalyst samples were characterized by N₂ adsorption-desorption, X-ray diffraction, H₂ temperature-programmed reduction, and NH₃ temperature-programmed desorption. The results indicated that the CoO/SiO₂-Al₂O₃ catalyst showed higher activity and selectivity. When CoO loading was 0.3 mmol/g and the catalyst precursor was calcined at 700 °C (2.8 °C/min) for 4 h followed by reduction in situ at 325 °C for 2 h in the mixture gas of 50% H₂-50% N₂ (60 ml/min) before reaction, the yield of 1-phenylazepane could be up to 80%. The catalyst with larger specific surface area, higher dispersion of the active component, and weaker acidity favored the synthesis of the target product.

Key words: cobaltous oxide; silica; alumina; supported catalyst; 1-phenylazepane; aniline; 1,6-hexanediol

N-杂环化合物广泛用于药物化学、材料化学和有机合成领域^[1~5]。1-苯基氮杂环庚烷作为苯胺烷基化产物之一, 可用于合成染料、炸药、农药、化肥、橡胶助剂及感光材料等^[6~9]。因此, 1-苯基氮杂环庚烷的合成具有重要意义。

近几十年来, 1-苯基氮杂环庚烷主要是以苯胺和烷基化试剂, 如卤代烷或二元醇为原料, 采用液相法合成^[10~12]。但液相法存在产物分离困难、催化剂制备复杂、价格昂贵以及反应中需要使用大量有毒

溶剂、环境污染严重等问题。从经济和环保上考虑, 气相法合成 1-苯基氮杂环庚烷比较理想。然而, 有关气相合成 1-苯基氮杂环庚烷的报道很少。1985 年, Walkup 等^[13]以苯胺和 1,6-己二醇为原料, 在 Al₂O₃ 催化剂上于 400 °C 反应制备了 1-苯基氮杂环庚烷, 收率为 70%。

本文以苯胺和 1,6-己二醇为原料, 采用气相法合成 1-苯基氮杂环庚烷, 主要考察 CoO/SiO₂-Al₂O₃ 催化剂上活性组分担载量及其制备条件等对催化剂

收稿日期: 2010-07-30. 接收日期: 2010-10-04.

联系人: 石雷. Tel: (0411)82158329; Fax: (0411)82156858; E-mail: shilei515@dl.cn

基金来源: 辽宁省教育厅基金 (2009A421).

性能的影响，并采用N₂吸附-脱附、X射线衍射(XRD)、H₂程序升温还原(H₂-TPR)和NH₃程序升温脱附(NH₃-TPD)等技术表征了催化剂，以揭示催化剂性能与结构之间的关系。

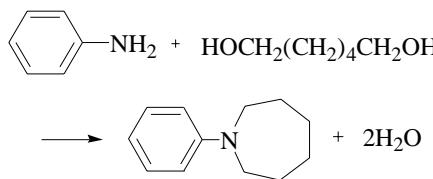
1 实验部分

1.1 催化剂的制备

将定量载体等体积浸渍于一定浓度的硝酸盐溶液中，室温放置15 h；水浴干燥后，于120 °C干燥4 h，再于一定温度下焙烧4 h。

1.2 催化剂的评价

催化反应在常压固定床流动式气固反应装置上进行。反应前取3 ml催化剂装入内径为12 mm的玻璃管反应器中，用50% H₂-50% N₂(60 ml/min)混合气于325 °C原位还原2 h。反应条件：苯胺/1,6-己二醇摩尔比为3，反应总空速(SV)为1 700 h⁻¹，苯胺和1,6-己二醇混合液的空速(LHSV)为0.4 h⁻¹。反应温度290 °C。产物鉴定在美国Agilent公司6890N型色谱和5975B inert XL EI/CI MSD质谱上进行。反应物和产物的定量分析在山东鲁南瑞虹公司SP-6890型气相色谱仪上进行，SE-54色谱柱，以8-羟基喹啉为内标物。1-苯基氮杂环庚烷选择性S以1,6-己二醇为基准进行计算： $S = Y/X$ 。其中Y为1-苯基氮杂环庚烷的色谱收率，X为1,6-己二醇转化率。反应方程式如下：



1.3 催化剂的表征

催化剂的比表面积和平均孔径在美国Quantachrome公司AUTOSORB-1MP型物理吸附仪上测定，在-196 °C下进行N₂吸附。

催化剂的XRD测试在Bruker D8 Advance型粉末衍射仪上进行。Cu K_α辐射，管流40 mA，管压40 kV，扫描速率0.5°/min，扫描范围2θ=30°~80°。

H₂-TPR实验在内径为6 mm、长为350 mm的石英反应器中进行。将100 mg样品于200 °C用高纯N₂(50 ml/min)吹扫1 h后，冷却至50 °C，再于10% H₂-90% Ar还原气(30 ml/min)中以10 °C/min

升至600 °C。用TCD记录耗H₂量。

NH₃-TPD实验装置同H₂-TPR。将150 mg样品于500 °C用高纯He(50 ml/min)吹扫1 h，清除表面吸附物后，降至100 °C，通入NH₃吸附至饱和，再用He吹扫1 h，脱除物理吸附的NH₃，然后以10 °C/min升至700 °C，记录NH₃脱附信号。

2 结果与讨论

2.1 催化剂的筛选及CoO担载量的影响

表1为SiO₂、γ-Al₂O₃、SiO₂-Al₂O₃及其负载不同活性组分的催化剂活性和选择性。可以看出，在SiO₂及其负载的催化剂上，1,6-己二醇转化率较低；在γ-Al₂O₃及其负载的催化剂上，尽管1,6-己二醇转化率达100%，但1-苯基氮杂环庚烷选择性较低。由GC-MS分析可知，其副产物主要是氧杂环庚烷，另外还有少量的2,5-二甲基-1-苯基哌啶及2-乙基-1-苯基哌啶。在SiO₂-Al₂O₃及其负载的催化剂上，不仅1,6-己二醇转化率为100%，而且1-苯基氮杂环庚烷选择性相对较高，其中以CoO/SiO₂-Al₂O₃催化剂的选择性最高(1-苯基氮杂环庚烷收率达67%)。

表1 苯胺和1,6-己二醇气相合成1-苯基氮杂环庚烷反应中不同催化剂的活性和选择性

Table 1 The activity and selectivity of different catalysts in vapor-phase synthesis of 1-phenylazepane from aniline and 1,6-hexanediol

Catalyst	1,6-Hexanediol conversion (%)	1-Phenylazepane yield (%)	1-Phenylazepane selectivity (%)
SiO ₂	83	3	4
Cu/SiO ₂	96	45	47
Ag/SiO ₂	93	37	40
Fe ₂ O ₃ /SiO ₂	89	24	27
CoO/SiO ₂	85	31	36
NiO/SiO ₂	91	37	41
γ-Al ₂ O ₃	100	25	25
Cu/γ-Al ₂ O ₃	100	17	17
Ag/γ-Al ₂ O ₃	100	18	18
Fe ₂ O ₃ /γ-Al ₂ O ₃	100	17	17
CoO/γ-Al ₂ O ₃	100	23	23
NiO/γ-Al ₂ O ₃	100	14	14
SiO ₂ -Al ₂ O ₃	100	42	42
Cu/SiO ₂ -Al ₂ O ₃	100	41	41
Ag/SiO ₂ -Al ₂ O ₃	100	29	29
Fe ₂ O ₃ /SiO ₂ -Al ₂ O ₃	100	63	63
CoO/SiO ₂ -Al ₂ O ₃	100	67	67
NiO/SiO ₂ -Al ₂ O ₃	100	63	63

Reaction conditions: $n(\text{aniline})/n(1,6\text{-hexanediol}) = 3$, LHSV = 0.4 h⁻¹, SV = 1700 h⁻¹, 290 °C, 4 h. Active component loading 0.3 mmol/g.

钴催化剂在费托合成^[14]、选择环氧化^[15]和CH₄/CO₂重整^[16]等反应中表现出较高的催化性能，在工业上应用广泛。对于苯胺和1,6-己二醇气相催化合成1-苯基氮杂环庚烷反应，CoO/SiO₂-Al₂O₃催化剂亦表现出较高的活性和选择性。图1为CoO担载量对该催化剂活性和选择性的影响。可以看出，随着CoO担载量的增加，尽管1,6-己二醇转化率均为100%，但1-苯基氮杂环庚烷收率先增加后减少，当CoO担载量为0.3 mmol/g时达最高(67%)。

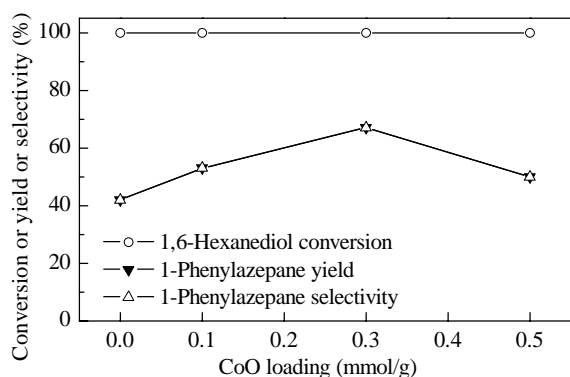


图1 CoO担载量对CoO/SiO₂-Al₂O₃催化剂活性和选择性的影响

Fig. 1. Effect of CoO loading on the activity and selectivity of CoO/SiO₂-Al₂O₃ catalyst. The reaction conditions are the same as in Table 1 but CoO loading.

图2为不同CoO担载量的CoO/SiO₂-Al₂O₃催化剂的XRD谱。根据XRD标准卡片可知，CoO晶体的3个最大衍射峰出现在 $2\theta = 36.48^\circ, 42.42^\circ$ 及 61.50° 处。由图可见，当CoO担载量为0.1和0.3 mmol/g时，CoO/SiO₂-Al₂O₃催化剂上均未出现CoO

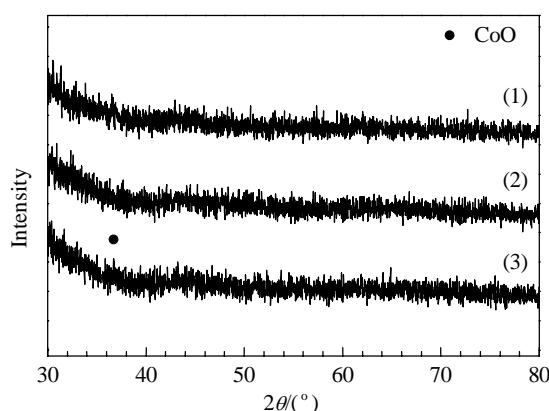


图2 不同CoO担载量CoO/SiO₂-Al₂O₃催化剂的XRD谱
Fig. 2. XRD patterns of CoO/SiO₂-Al₂O₃ with different CoO loading. (1) 0.1 mmol/g; (2) 0.3 mmol/g; (3) 0.5 mmol/g.

晶体的衍射峰，说明CoO高度分散于载体表面上，没有形成大的CoO晶粒。当CoO担载量为0.5 mmol/g时，在 $2\theta = 36.48^\circ$ 处有CoO晶体的衍射峰出现，说明此时CoO已经聚集、形成具有一定结晶度的晶体。结合图1可知，CoO粒子分散度较低时不利于目标产物的生成。

2.2 催化剂制备条件的影响

表2为CoO/SiO₂-Al₂O₃在500 °C焙烧，升温速率不同时催化剂的活性和选择性。可以看出，两种焙烧升温速率制得的催化剂上，1,6-己二醇转化率均为100%，但1-苯基氮杂环庚烷选择性相差较大，焙烧升温速率较慢时催化剂的选择性较高。

表2 焙烧升温速率对CoO/SiO₂-Al₂O₃催化剂活性和选择性的影响

Table 2 Effect of rising rate for calcination temperature on the activity and selectivity of CoO/SiO₂-Al₂O₃ catalyst

Rising rate (°C/min)	1,6-Hexanediol conversion (%)	1-Phenylazepane yield (%)	1-Phenylazepane selectivity (%)
16	100	51	51
2.7	100	67	67

The reaction conditions are the same as in Table 1 but the rising rate for calcination temperature.

图3为焙烧升温速率为2.78 °C/min时，焙烧温度对CoO/SiO₂-Al₂O₃催化剂活性和选择性的影响。可以看出，当催化剂焙烧温度低于700 °C时，1,6-己二醇转化率均为100%；当焙烧温度升高到800 °C时，1,6-己二醇转化率急剧下降(76%)。这说明催化剂焙烧温度过高不利于1,6-己二醇的转化。另外，1-苯基氮杂环庚烷

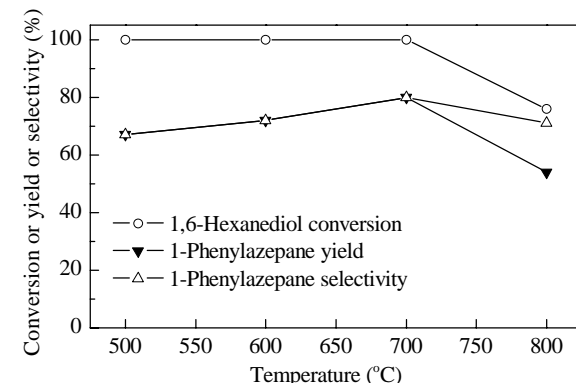


图3 焙烧温度对CoO/SiO₂-Al₂O₃催化剂活性和选择性的影响

Fig. 3. Effect of calcination temperature on the activity and selectivity of CoO/SiO₂-Al₂O₃ catalyst. The reaction conditions are the same as in Table 1.

选择性随着催化剂焙烧温度的升高先升高后降低,至700 °C时达最高(80%)。

表3为部分CoO/SiO₂-Al₂O₃催化剂的比表面积和平均孔径。可以看出,随着焙烧温度的升高,催化剂比表面积逐渐减小。当焙烧温度由600 °C增至800 °C时,其比表面积由382 m²/g逐渐减小至155 m²/g;样品的平均孔径则随着焙烧温度的升高而逐渐增大。结合图3可知,催化剂的比表面积过小不利于1-苯基氮杂环庚烷的生成。

表3 不同温度焙烧CoO/SiO₂-Al₂O₃催化剂的比表面积和平均孔径

Table 3 Specific surface area and average pore size of CoO/SiO₂-Al₂O₃ calcined at different temperatures

Calcination temperature (°C)	Specific surface area (m ² /g)	Average pore size (nm)
600	382	3.2
700	319	3.2
800	155	3.7

众所周知,焙烧温度的高低影响固体催化剂结晶度的高低。图4为不同温度焙烧CoO/SiO₂-Al₂O₃催化剂的XRD谱。可以看出,在600或700 °C焙烧制得的催化剂上没有出现CoO晶体的衍射峰;而在800 °C焙烧时,所得样品在2θ=36.48°处出现了CoO晶体的衍射峰。这说明600和700 °C焙烧制得的催化剂,CoO粒子较小(<10 nm),分散度较高;而在800 °C焙烧时,CoO粒子已经聚集,分散

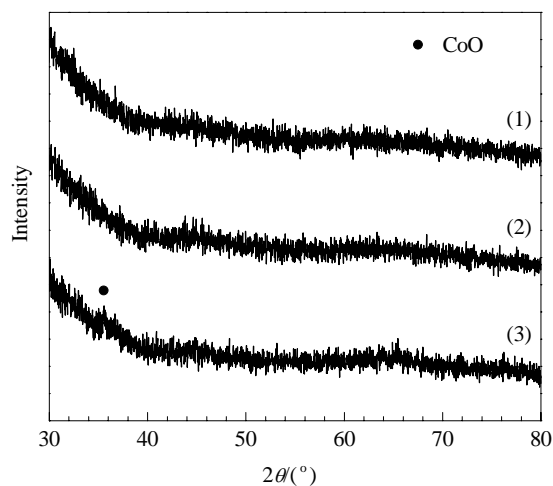


图4 不同温度焙烧CoO/SiO₂-Al₂O₃催化剂的XRD谱

Fig. 4. XRD patterns of CoO/SiO₂-Al₂O₃ calcined at different temperatures. (1) 600 °C; (2) 700 °C; (3) 800 °C.

度较低。结合表3可知,由于该催化剂比表面积大幅度减小,故活性组分的分散较差。由此可见,CoO/SiO₂-Al₂O₃催化剂上CoO粒子分散度较低时不利于目标产物的生成。这是由于Co物种在载体上分散较差时,活性中心数较少所致。

图5为不同温度焙烧CoO/SiO₂-Al₂O₃催化剂的NH₃-TPD谱。可以看出,各样品均出现两个明显的NH₃脱附峰。这说明催化剂均存在两种酸中心:低于200 °C处脱附峰对应于弱酸中心,250~500 °C处为中强酸中心^[17]。随着焙烧温度的升高,所得样品弱酸中心的脱附峰温度变化不明显,但中强酸中心的脱附峰温度逐渐升高。这说明焙烧温度的升高使得催化剂中强酸酸性增强。由于NH₃脱附峰的面积对应于酸中心数目,故不难发现,700 °C焙烧的催化剂上酸中心数最多。结合图3可知,CoO/SiO₂-Al₂O₃催化剂酸中心数多有利于1-苯基氮杂环庚烷的生成,而催化剂酸性过强则不利于目标产物的生成。这是因为催化剂酸中心数多,有利于苯胺和1,6-己二醇在其表面上吸附,所以反应活性较高。然而,如果催化剂酸性过强,则会使具有弱碱性的产物1-苯基氮杂环庚烷在催化剂表面脱附困难,容易发生二次反应,因而产物选择性下降。

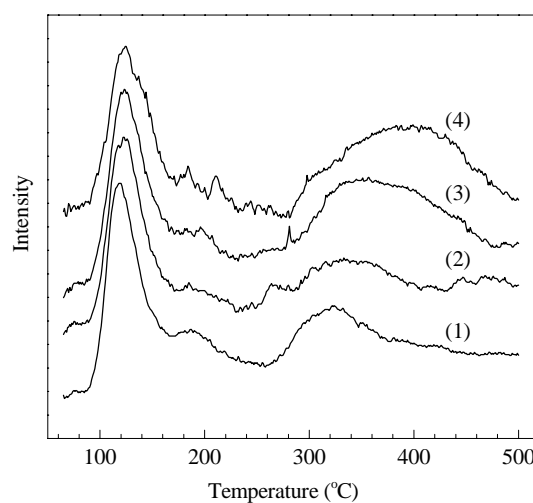


图5 不同温度焙烧CoO/SiO₂-Al₂O₃催化剂的NH₃-TPD谱

Fig. 5. NH₃-TPD profiles of CoO/SiO₂-Al₂O₃ calcined at different temperatures. (1) 500 °C; (2) 600 °C; (3) 700 °C; (4) 800 °C.

图6为还原温度对CoO/SiO₂-Al₂O₃催化剂活性和选择性的影响。可以看出,随着还原温度的升高,1,6-己二醇转化率均为100%,但1-苯基氮杂环

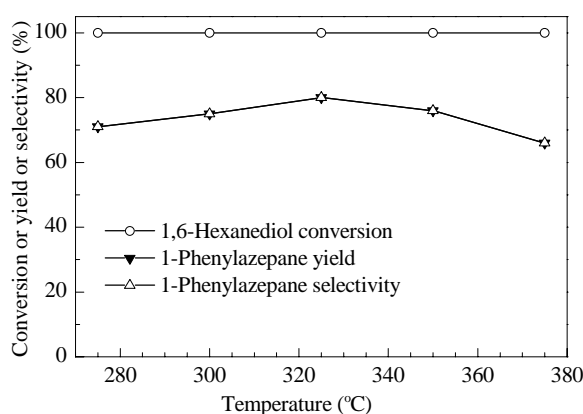


图 6 还原温度对 $\text{CoO}/\text{SiO}_2\text{-Al}_2\text{O}_3$ 催化剂活性和选择性的影响

Fig. 6. Effect of reduction temperature on the activity and selectivity of $\text{CoO}/\text{SiO}_2\text{-Al}_2\text{O}_3$. The reaction conditions are the same as in Table 1.

庚烷收率和选择性先升高后降低, 当还原温度为 325 °C 时达最高 (80%)。

3 结论

$\text{CoO}/\text{SiO}_2\text{-Al}_2\text{O}_3$ 催化剂在苯胺和 1,6-己二醇气相合成 1-苯基氮杂环庚烷反应中表现出很高的活性和选择性。当 CoO 担载量为 0.3 mmol/g 催化剂前体在 700 °C (2.8 °C/min) 焙烧 4 h, 并经 50% H_2 -50% N_2 混合气 (60 ml/min) 于 325 °C 原位还原 2 h, 1-苯基氮杂环庚烷收率可达 80%。催化剂活性组分散度高、弱酸及中强酸的酸中心数较多时有利于目标产物的生成, 酸性过强则导致产物选择性下降。

参 考 文 献

- 1 Satyavathi B, Patwari A N, Bnaywanth Rao M. *Appl Catal A*, 2003, **246**: 151
- 2 Campanati M, Franceschini S, Piccolo O, Vaccari A. *J Catal*, 2005, **232**: 1
- 3 吕文辉, 刘兴海, 刘冬妍, 石雷, 孙琪. 催化学报 (Lü W H, Liu X H, Liu D Y, Shi L, Sun Q. *Chin J Catal*), 2009, **30**: 1287
- 4 Naskar S, Bhattacharjee M. *Tetrahedron Lett*, 2007, **48**: 3367
- 5 Tan W, Li C M, Zheng J C, Shi L, Sun Q, He Y H. *J Natur Gas Chem*, 2008, **17**: 383
- 6 Shivarkar A B, Gupte S P, Chaudhari R V. *J Mol Catal A*, 2005, **226**: 49
- 7 Brouwer A M. *J Phys Chem A*, 1997, **101**: 3626
- 8 Anand R, Khaire S S, Maheswari R, Gore K U, Chumbhale V R. *Appl Catal A*, 2003, **242**: 171
- 9 Bautista F M, Campelo J M, Garcia A, Luna D, Marinas J M, Romero A A. *Appl Catal A*, 1998, **166**: 39
- 10 Singh C B, Kavala V, Samal A K, Patel B K. *Eur J Org Chem*, 2007, **8**: 1369
- 11 Felföldi K, Klyavlin M S, Bartók M. *J Organomet Chem*, 1989, **362**: 193
- 12 Belfield A J, Brown G R, Foubister A J. *Tetrahedron*, 1999, **55**: 11399
- 13 Walkup R E, Searless J S. *Tetrahedron*, 1985, **41**: 101
- 14 Yan Z, Wang Z J, Bukur D B, Goodman D W. *J Catal*, 2009, **268**: 196
- 15 Zhan H J, Xia Q H, Lu X H, Zhang Q, Yuan H X, Su K X, Ma X T. *Catal Commun*, 2007, **8**: 1472
- 16 Mondal K C, Choudhary V R, Joshi U A. *Appl Catal A*, 2007, **316**: 47
- 17 Jin D F, Gao J, Hou Z Y, Guo Y, Lu X Y, Zhu Y H, Zheng X M. *Appl Catal A*, 2009, **352**: 259